Feb., 2016

2016年2月

文章编号: 1000-7032(2016)02-0187-05

新型无铟透明导电-电致变色双功能 $MoO_3/Ag/MoO_3$ 薄膜的制备及性能研究

刘 岩¹²,吕 营¹,何龙桂³,刘星元^{1*}

- (1. 发光学及应用国家重点实验室 中国科学院长春光学精密机械与物理研究所, 吉林 长春 130033:
 - 2. 中国科学院大学,北京 100049; 3. 福建省捷创电子科技有限公司,福建 福清 350301)

摘要: 研制了集电致变色和透明导电功能为一体的 MoO_3 / Ag/MoO_3 (MAM) 双功能薄膜。MAM 薄膜采用电子束热蒸发技术在室温下制备。作为透明电极 MAM 薄膜显示出良好的光电性能 可见光平均透过率为 59.4% 方块电阻为 $12.2~\Omega/\square$ 。作为电致变色材料 MAM 薄膜具有较快的响应时间 (着色时间 4.3~s , 褪色时间 11.1~s) 25% 的光学对比度 (528~mm) ,良好的稳定性 ($100~\chi$ 循环) ,以及较高的着色效率 ($40.5~cm^2 \cdot C^{-1}$)在已报道的 MoO_3 着色效率中处于较高的水平。

关 键 词: 电致变色; MoO₃; 介质/金属/介质; 稳定性

中图分类号: TN389 文献标识码: A DOI: 10.3788/fgxb20163702.0187

Preparation and Properties of New Type of Transparent Conductive and Electrochromic Bi-functional Indium-free MoO₃/Ag/MoO₃ Thin Films

LIU Yan^{1,2}, LYU Ying¹, HE Long-gui³, LIU Xing-yuan^{1*}

 $(1.\ State\ Key\ Laboratory\ of\ Luminescence\ and\ Applications\ ,\ Changehun\ Insitute\ of\ Optics\ ,$

Fine Mechanics and Physics , Chinese Academy of Sciences , Changchun 130033 , China;

- $2. \ \ \textit{University of Chinese Academy of Sciences} \ \ \textit{, Beijing 100049} \ \ \textit{, China};$
- $3. \ \textit{Fujian Jiechuang Electronic Technology Co.} \ \textit{,LTD.} \ \textit{,Fuqing } 350301 \ \textit{,China})$
 - * Corresponding Author , E-mail: liuxy@ciomp. ac. cn

Abstract: $MoO_3/Ag/MoO_3$ (MAM) films were utilized for constructing bi-function electrochromic devices , which served as both transparent electrodes and electrochromic materials. MAM films were prepared by E-beam evaporation at room temperature. As a transparent electrode , MAM film has a good photoelectric performance with an average transmittance of 59.4% and a sheet resistance of 12.2 Ω/\Box . As an electrochromic material , MAM film shows a fast response time (coloration time 4.3 s , bleaching time 11.1 s) , a larger optical contrast of 25% at 528 nm , a good stability (100 cycles) and a higher coloration efficiency of 40.5 cm² • C⁻¹ , which is at a high level among the reported data.

Key words: electrochromism; MoO₃; dielectric-metal-dielectric; stability

收稿日期: 2015-10-16; 修订日期: 2015-11-18 基金项目: 国家自然科学基金(6140031454) 资助项目

1 引 言

电致变色是指材料的光学属性(吸收率、透 过率或反射率等) 在外加电场的作用下发生稳 定、可逆变化的现象,外观上表现为颜色和透明度 的可逆变化[1-2]。近些年来,电致变色器件(Electrochromic devices ,ECDs) 的发展极为迅速,在智 能窗、显示、防伪、军事等领域取得了巨大的进展, 并且部分产品如智能窗、防眩目后视镜等已经实 现产业化 但其高昂的价格限制了电致变色产品 的进一步推广。电致变色器件一般为 5 层结 构[3]:透明导电层、电致变色层、电解质层、离子 存储层和透明导电层。In,O,: Sn(ITO) 薄膜电阻 率低、透过率高,在各种透明电极中综合性能最 好 是商品化的主流产品。但是 ITO 透明导电薄 膜存在两个问题[46]: 一是铟元素为稀有元素,价 格昂贵 不利于降低电致变色器件的成本 且随着 应用量的增加, 面临铟元素枯竭的威胁; 二是 ITO 柔韧性能差,限制了柔性电致变色器件的发展。 因此开发适用于电致变色器件的低成本、高性能 的无铟透明电极是电致变色技术领域的一个重要 研究目标。介质/金属/介质(Dielectric-metal-dielectric ,DMD) 结构^[7] 具有高透过率、低电阻、生产 成本低等特点 是一种较为理想的取代 ITO 薄膜 的电极材料 ,目前已广泛应用于各种光电子器件 中,如 OLED,OPV 等。我们对其进行进一步研 究^[8] 发现以电致变色材料 WO₃ 作为介质层 ,则 可获得集电致变色层和电极层功能为一体的双功 能薄膜 而且获得了快速的响应时间、高着色效率 等优异电致变色性能,为后续研究奠定了基础。

 MoO_3 是典型的阴极电致变色材料,具备响应速度快、着色效率高、化学及环境稳定性好等优点 $[^{940]}$ 。与 WO_3 相比 MoO_3 在可见光范围内的光吸收较均匀 显示出更柔和的中性色彩,并且表现出良好的开路记忆效应 $[^{1143]}$ 。基于 MoO_3 叠层的电致变色器件尚没有研究报道 本文采用 DMD 结构 以 MoO_3 作为介质层 Ag 作为金属层 利用电子束蒸镀技术在玻璃衬底上制备 $MoO_3/Ag/MoO_3$ (MAM) 薄膜,并对其电致变色性质进行了研究。

2 实 验

2.1 预处理

采用电子束蒸镀技术在室温下制备 MAM 薄

膜 衬底为 $18 \text{ mm} \times 18 \text{ mm}$ 的 K9 玻璃片 ,清洗方式为去离子水、丙酮、乙醇依次超声清洗 10 min ,超声完毕后置于 50 ° 真空干燥箱中烘干备用。

以 $LiClO_4$ 为支持电解质研究薄膜的电致变色性质。电解质放入 120 $^{\circ}$ 真空干燥箱中烘干过夜。取出后与一定体积的碳酸丙烯酯(PC) 溶液混合 配置浓度为 1 mol $^{\circ}$ L $^{-1}$ 的 $LiClO_4$ /PC 支持电解质溶液。

2.2 样品制备

将清洗后的玻璃片放入电子束腔体中,当真空度低于 3×10^{-3} Pa 后开始蒸镀。 MoO_3 和 Ag 层的蒸镀速率分别为 $0.1 \sim 0.2$ 和 $0.7 \sim 1.0$ nm • s^{-1} 。蒸镀的 MAM 薄膜的厚度为 30/11/50 nm。

2.3 性能测试

采用 Shimadzu SPM 9700 原子力显微镜测试薄膜的表面形貌 JANDEL RM300 四探针测试仪测试薄膜的面电阻 Shimadzu UV-3101PC 紫外-可见分光光度计测试薄膜的光学性能。电化学性能测试采用标准的三电极方法 ,以 MAM 薄膜为工作电极 ,Ag/AgCl (3.5 M KCl) 电极为参比电极 ,一块 5 mm × 20 mm 的钛板为对电极 ,所有的电化学性能测试均在实验室自己搭建的上海辰华 CHI 920 电化学工作站和 Maya 2000 光纤光谱仪联合下完成。

3 结果与讨论

薄膜的光电性质和表面微结构对其电致变色 性质有着重要影响。我们测试了 MAM 薄膜的表 面形貌 如图 1 中插图所示。MAM 薄膜表面没有 明显的凸起和凹陷,粗糙度仅为 1.9 nm ,这样平 整的表面形貌有助于获得高电导率,而且有助于 电解质离子均匀地扩散到电致变色薄膜中[14]。 我们也测试了 MAM 薄膜的电学和光学性质 ,其 面电阻仅为 9.3 Ω ・ \Box ⁻¹ 与一般商品化的 ITO 薄 膜的面电阻($10 \Omega \cdot \Box^{-1}$)相当。电阻值的大小对 电致变色薄膜的影响巨大,高电阻值可能会造成 电极层电压和电解质溶液电流的不均匀分 布[13,15]。图 1 为 400~800 nm 光谱范围内 MAM 着色状态和褪色状态透射光谱,这个波长范围内 的平均透过率可达到59.4% 最高透过率为64.3% (522 nm)。在-0.45 V 电压下(30 s) 薄膜由初 始浅灰色变为深蓝灰色,透过率降低;再施加0.5 V 电压(30 s),薄膜由深蓝灰色逐渐转变为浅灰 色 透过率升高。着色和褪色过程随施加电位的 交替变换表现为可逆循环 ,施加电位的大小对着 色程度和褪色程度有着重要影响。

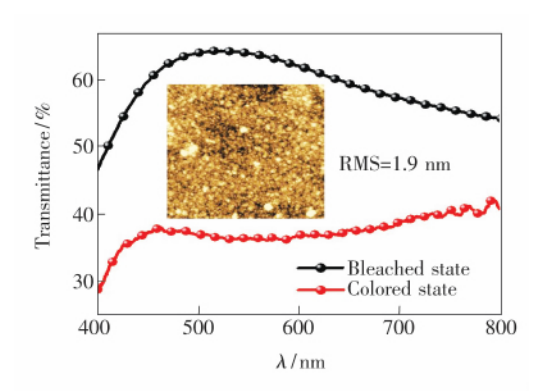
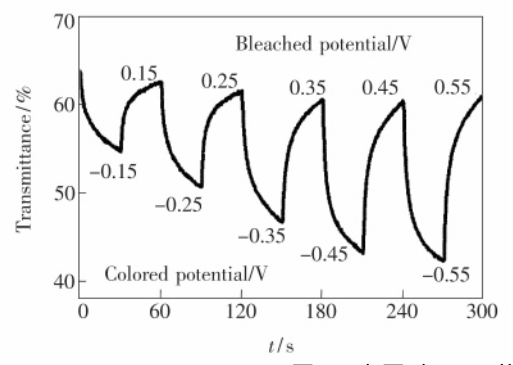


图 1 MAM 在着色态和褪色态的透射光谱 插图为 MAM 薄膜的原子力显微镜图像。

Fig. 1 Transmittance spectra of MAM film in bleached and colored states. Inset shows AFM image of MAM film.

图 2 表示 MAM 薄膜在施加不同电位(持续 30 s) 情况下 528 nm 处透过率的变化曲线及相应的光学对比度和响应时间数据。光学对比度是指



某一波长下 褪色态和着色态的透过率的差值 表 征薄膜对光的调制能力。由图 2 可以看出,在电 位从 0.15 V 逐渐增加到 0.45 V 的过程中 ,MAM 薄膜的透过率依次减小。这是因为在循环过程 中 部分离子被 MAM 薄膜捕获并留存在 MAM 薄 膜中 使得薄膜不能从着色状态完全回复到初始 态[16]。而当电压增加到 0.55 V 时 ,虽然褪色状 态程度加深,但是并不利于获得良好的稳定性。 对于着色状态来说 随着反向电位的不断增大 着 色状态的透过率依次降低。MAM 薄膜的光学对 比度也随着电位的增加而增大。当电压增大到 ±0.55 V时,光学对比度达到最大的18.8%,相 比于 ±0.15 V 时(9.1%) 增大了一倍。电压对光 学对比度的调节作用明显 施加较小电压时 氧化 还原反应进行得不完全,光学对比度较小;随着电 压的增大 氧化还原反应程度不断增大 光学对比 度随之变大。但如果电压过高,则可能对电致变 色薄膜造成破坏 降低薄膜的稳定性 甚至使得电 致变色材料失活。

Potential/V	$T_{ m b}/\%$	$T_{ m c}$ / %	$\Delta T/\%$
±0.15	63.9	54.8	9.1
±0.25	62.4	50.6	11.8
±0.35	61.3	46.6	14.7
±0.45	60.4	43.2	17.2
± 0.55	61.0	42.2	18.8

图 2 电压对 MAM 薄膜 528 nm 处透过率的调节作用

Fig. 2 Effect of voltage on the transmittance at 528 nm of MAM film

因此 .要获得良好的光学对比度就要对 MAM 薄膜施加合适的电压。综合考量光学对比度、稳定性等因素 .本文选择(-0.45 V 0.5 V) 电位系统分析 MAM 薄膜的响应时间、着色效率和稳定性等电致变色性质。响应时间指着色和褪色过程中透过率变化 90% 所需时间 .表征电致变色薄膜变色速度的快慢。图 3 为 MAM 薄膜的透过率变化(528 nm) 曲线及电流响应曲线 .测试均采用多电位阶跃模式 ,施加电压均为 -0.45 V (40 s) 和 0.5 V(50 s)。 MAM 薄膜在该电位下 ,褪色态透过率为 64.3% 着色态透过率为 39.3% ,光学对比度为 25%。由此可以算出 MAM 薄膜的着色响应时间为 4.3 s ,褪色的响应时间为 11.1 s ,这个

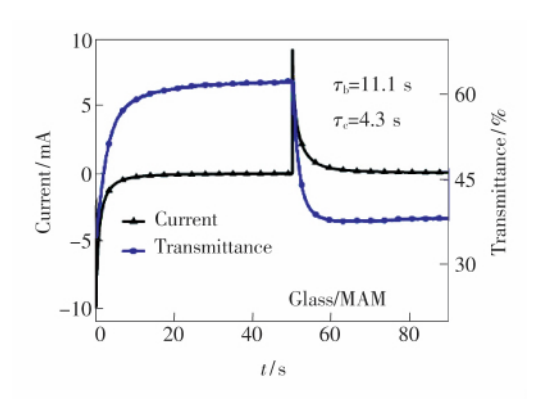


图 3 MAM 薄膜的透过率(528 nm) 变化曲线及电流响应 曲线

Fig. 3 Variations in transmittance (528 nm) and current response curve of MAM film

响应速度已经满足将其应用于器件的要求。

着色效率也是电致变色器件的一个重要参数 表征单位面积上的电荷量引起光学密度的变化、计算方法如下:

 $\eta = \Delta D/\Delta Q = \log(T_{\rm b}/T_{\rm c})/\Delta Q$, (1) 其中 ΔD 为光学密度变化量 ΔQ 为进入薄膜的电荷量。图 4 为 MAM 薄膜在 528 nm 处的光学密度-电荷密度变化曲线。在电化学反应初期 ,光学密度变化与电荷密度成正比; 随着反应的不断进行 膜内物质不断消耗 ,光学密度的变化逐渐变缓 ,最后趋于平缓。由图 4 中直线部分的斜率可以求出 MAM 薄膜的最大着色效率为 $40.5~{\rm cm}^2 \cdot {\rm C}^{-1}$,在已报道的同类数据中处于较高的水平 $^{[11,17+8]}$ 。

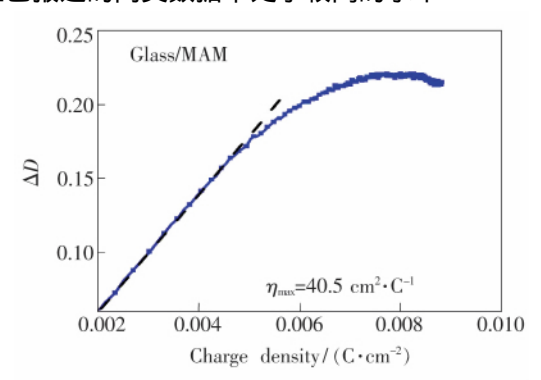


图 4 MAM 薄膜的光学密度-电荷密度变化曲线(528 nm) Fig. 4 Optical density vs. charge density of MAM film at 528 nm

快速的响应时间、较强的光学调制能力和高着色效率都表明 MAM 薄膜的电压利用率较高,这也增强了 MAM 薄膜的电化学稳定性。如图 5 所示 在 -0.45 V ~ 0.5 V 电压下,以响应时间循环 100 圈 MAM 的光学调制能力仍然保持在初始状态的 83% ,可以看出 MAM 结构的稳定性优

异。其褪色状态透过率逐渐升高、光学对比度降低的原因可能是:在循环过程中出现薄膜脱落现象,导致薄膜的透过率逐渐升高,光学对比度降低;另外还存在离子捕获现象,使得部分离子存留在 MAM 薄膜中 随着电化学反应的持续进行,被捕获的离子数量增加,导致氧化还原反应的程度减小,光学对比度也随之下降。

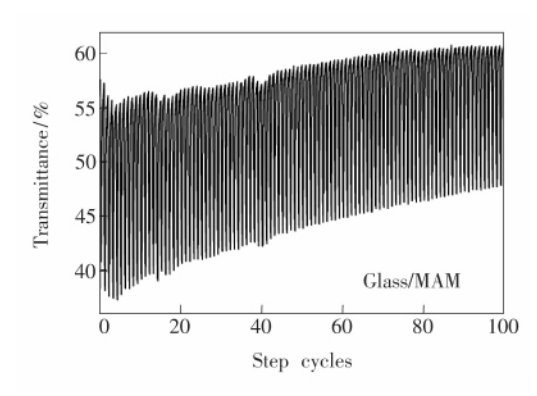


图 5 MAM 薄膜循环稳定性-透过率随循环圈数的变化 曲线

Fig. 5 Cyclic stability of MAM film-transmittance change with different scan cycles

4 结 论

利用电子束蒸镀技术。在玻璃衬底上获得了导电性优异和透过率良好的 MAM 薄膜,其面电阻仅为 $9.3~\Omega \cdot \Box^{-1}$,可见光($400 \sim 800~\mathrm{nm}$) 平均透过率为 59.4%。同时,MAM 表现出优异的电致变色性质,具有快速的响应时间($4.3~\mathrm{s}$, $11.1~\mathrm{s}$)、较高的着色效率($40.5~\mathrm{cm}^2 \cdot \mathrm{C}^{-1}$)、较大的光学对比度($25\%~528~\mathrm{nm}$),且循环稳定性优异,为进一步替代ITO 薄膜并制备高性能、低成本的电致变色器件提供了结构设计方面的新方法和新思路。

参考文献:

- [1] LLORDÉS A, GARCIA G, GAZQUEZ J, et al.. Tunable near-infrared and visible-light transmittance in nanocrystal-in-glass composites [J]. Nature, 2013, 500(7462):323-326.
- [2] WEI Y X , ZHOU J L , ZHENG J M , et al. . Improved stability of electrochromic devices using Ti-doped V₂O₅ film [J]. Electrochim. Acta , 2015 , 166: 277-284.
- [3] THAKUR V K, DING G Q, MA J, et al.. Hybrid materials and polymer electrolytes for electrochromic device applications [J]. Adv. Mater., 2012, 24(30):4071-4096.
- [4] YU W J, SHEN L, MENG F X, et al. . Effects of the optical microcavity on the performance of ITO-free polymer solar cells with WO₃/Ag/WO₃ transparent electrode [J]. Sol. Energy Mater. Sol. Cells, 2012, 100: 226-230.
- [5] ZHU Y M, OTLEY MT, ZHANG X Z, et al. Polyelectrolytes exceeding ITO flexibility in electrochromic devices [J].
 J. Mater. Chem. C, 2014, 2(46): 9874-9881.

- [6] QIZ, CAO JM, DING LM, et al.. Transparent and transferrable organic optoelectronic devices based on WO₃/Ag/WO₃ electrodes [J]. Appl. Phys. Lett., 2015, 106(5):053304-1-4.
- [7] ELLMER K. Past achievements and future challenges in the development of optically transparent electrodes [J]. *Nat. Photon.*, 2012, 6(12): 808-817.
- [8] LI H L , LV Y , ZHANG X , et al. . High-performance ITO-free electrochromic films based on bi-functional stacked WO₃ / Ag/WO₃ structures [J]. Sol. Energy Mater. Sol. Cells , 2015 , 136: 86-91.
- [9] SAJI V S, LEE C W. Molybdenum, molybdenum oxides, and their electrochemistry [J]. *Chemsuschem*, 2012, 5(7): 1146-1161.
- [10] BREZESINSKI T, WANG J, TOLBERT S H, et al.. Ordered mesoporous α-MoO₃ with iso-oriented nanocrystalline walls for thin-film pseudocapacitors [J]. Nat. Mater., 2010, 9(2):146-151.
- [11] HSU C S , CHAN C C , HUANG H T , et al. . Electrochromic properties of nanocrystalline MoO₃ thin films [J]. Thin Solid Films , 2008 , 516(15): 4839-4844.
- [12] DASGUPTA B, REN Y, WONG L M, et al. Detrimental effects of oxygen vacancies in electrochromic molybdenum oxide [J]. J. Phys. Chem. C, 2015, 119(19):10592-10601.
- [13] WANG Z C , HU X F , HELMERSSON U. Peroxo sol-gel preparation: photochromic/electrochromic properties of Mo-Ti oxide gels and thin films [J]. J. Mater. Chem. , 2000 , 10(10): 2396-2400.
- [14] KOBAYASHI N P, ISLAM M S, WU W, et al.. Ultrasmooth silver thin films deposited with a germanium nucleation layer [J]. Nano Lett., 2009, 9(1):178-182.
- [15] WANG K, WU HP, MENG YN, et al.. Integrated energy storage and electrochromic function in one flexible device: an energy storage smart window [J]. Energy Environ. Sci., 2012, 5(8):8384-8389.
- [16] WEN R T, GRANQVIST C G, NIKLASSON G A. Eliminating degradation and uncovering ion-trapping dynamics in electrochromic WO₃ thin films [J]. Nat. Mater. , 2015, 14(10):996-1001.
- [17] GUERFI A , PAYNTER R W , DAO L H. Characterization and stability of electrochromic MoO₃ thin films prepared by electrodeposition [J]. J. Electrochem. Soc. , 1995 , 142(10): 3457–3464.
- [18] YAO D D, RANI R A, OMULLANE A P, et al. . Enhanced coloration efficiency for electrochromic devices based on anodized Nb₂O₅/electrodeposited MoO₃ binary systems [J]. J. Phys. Chem. C, 2014, 118(20):10867-10873.



刘岩(1991 -) ,女 ,吉林长春人 ,硕士研究生 2013 年于吉林大学获得学士学位 ,主要从事电致变色方面的研究。

E-mail: 584526076@ qq. com



刘星元(1970 -) ,男 ,黑龙江伊春人 ,博士 ,研究员 ,1999 年于中科院长春物理所获得博士学位 ,主要从事分子光电子方面的研究。

E-mail: liuxy@ ciomp. ac. cn